

4. Сноу Д. Торнадо // В мире науки.— 1984.— № 6.
5. Наливкин В. Д. Ураганы, бури и смерчи.— Л.: Наука, 1970.
6. Васильев А. А., Песков Б. Е., Снитковский А. И. Смерчи 9 июня 1984 г.— Л.: Гидрометеопиздат, 1985.
7. Симпсон Дж. Вращение в кучевом облаке: модель и данные наблюдений в облачной системе, порождающей смерч // Интенсивные атмосферные вихри.— М.: Мир, 1985.
8. Матвеев Л. Т. Курс общей метеорологии.— Л.: Гидрометеопиздат, 1976.

Поступила 26/VI 1986 г.

УДК 532.526 + 533.6.011

## РАСЧЕТ ОТРЫВНОГО ОБТЕКАНИЯ СИСТЕМЫ КРЫЛО — ФЮЗЕЛЯЖ ДОЗВУКОВЫМ ПОТОКОМ ГАЗА

*A. B. Воеводин, Г. Г. Судаков*

*(Москва)*

В [1, 2] рассмотрены задачи отрывного обтекания крыла малого удлинения, а также крыла конечного удлинения с наплытом дозвуковым потоком газа. На основе асимптотического анализа этих задач показано, что в обоих случаях правило Гетерта можно применять и в следующем (нелинейном по углу атаки) приближении. В данной работе эти результаты обобщены на случай отрывного обтекания комбинации крыло — фюзеляж и кратко изложены основные моменты асимптотического анализа исследуемых задач. Подробное описание математического аппарата дано в [1, 2]. Альтернативный подход, основанный на прямом решении уравнений Эйлера методом итераций без использования информации о малости параметров, развит в [3].

**1. Постановка задачи.** Рассмотрим стационарное отрывное обтекание комбинации крыла нулевой толщины с фюзеляжем потоком газа при  $0 \leq M_\infty < 1$ . Выберем систему единиц измерения таким образом, чтобы скорость набегающего потока и центральная хорда крыла были равны единице. Предполагается, что поверхности крыла и фюзеляжа симметричны относительно плоскости  $xy$ , скольжение отсутствует. Допустим, что в потоке имеются вихревые поверхности (вихревая пелена), сходящиеся с передних кромок крыла, но отрыв с фюзеляжа отсутствует.

Относительно геометрии компоновки сделаем следующие предположения. Пусть длина фюзеляжа  $L = O(1)$ , а его поперечный размер  $\varepsilon = o(1)$ . Рассмотрим отдельно случай крыла малого удлинения  $\lambda = O(\varepsilon)$  (задача 1) и конечного удлинения  $\lambda = O(1)$  с наплытом большой стреловидности (задача 2), так что удлинение наплыва  $\lambda_n = O(\varepsilon)$ . В обеих задачах предполагается, что  $\alpha = O(\varepsilon)$ .

Пусть  $\phi$  — потенциал течения,  $a$  — скорость звука,  $u, v, w$  — составляющие скорости по осям  $x, y, z$ . Тогда потенциал течения удовлетворяет уравнению [4]

$$\left(1 - \frac{u^2}{a^2}\right) \frac{\partial^2 \phi}{\partial x^2} + \left(1 - \frac{v^2}{a^2}\right) \frac{\partial^2 \phi}{\partial y^2} + \left(1 - \frac{w^2}{a^2}\right) \frac{\partial^2 \phi}{\partial z^2} - 2 \frac{uv}{a^2} \frac{\partial^2 \phi}{\partial x \partial y} - 2 \frac{uw}{a^2} \frac{\partial^2 \phi}{\partial x \partial z} - 2 \frac{vw}{a^2} \frac{\partial^2 \phi}{\partial y \partial z} = 0,$$

граничным условиям непротекания на фюзеляже, крыле и пелене, а также условию непрерывности давления при переходе через пелену и условию Чаплыгина — Жуковского на тех кромках, где предполагается наличие отрыва потока.

**2. Асимптотический анализ.** Переядем к описанию результатов асимптотического анализа задачи 1 (комбинация фюзеляж — крыло малого удлинения). Полное изложение математического аппарата приведено в [1].

Введем зону 1 — область внешнего течения с характерными размерами  $O(1)$ , в ней при  $\lambda \rightarrow 0$  и  $\varepsilon = O(\lambda)$  система крыло — фюзеляж изображается отрезком оси  $x$ . Тогда в первом приближении в зоне 1 имеем просто равномерный поток. Это решение не описывает течение в окрестности крыла, поэтому необходимо рассмотреть внутреннюю зону 2 с про-

дольным размером  $O(1)$  и поперечными размерами  $O(\lambda)$ , в ней в первом приближении справедлива теория удлиненных тел [5]. Граничное условие для задачи в зоне 2 получается с помощью сращивания решений в зонах 1 и 2. В первом приближении решение задачи в зоне 2 не зависит от  $M_\infty$  и не содержит сингулярностей по переменной  $x$ . Это обстоятельство позволяет поставить задачу для следа за крылом: при  $x = x_e$  ( $x_e$  — координата задней кромки крыла) присоединенные вихри на крыле освобождаются, и далее решается двумерная задача о следе в присутствии фюзеляжа, а затем и без фюзеляжа.

Изучение следующего приближения в зоне 2 показывает, что оно сингулярно по  $x$  в точке  $x = x_e$ . Это обстоятельство является основанием для введения в окрестности кормовой части крыла зоны 3 с характерными размерами  $O(\lambda)$ . Анализ задачи в зоне 3 приводит к результату: конфигурация вихревой пелены и поперечные составляющие скорости опписываютя теорией удлиненных тел правильно в первом приближении, в то время как продольная составляющая скорости и давление не могут быть получены с помощью теории удлиненных тел даже в первом приближении. Для их нахождения необходимо решать трехмерную задачу в зоне 3 при заданной конфигурации и интенсивности вихревой пелены, полученной с помощью теории удлиненных тел. При этом в переменных Гетерта получается трехмерная линейная задача для уравнения Лапласа.

Таким образом, в задаче 1 сжимаемость среды проявляется в первую очередь в кормовой части крыла, и ее можно учесть с помощью правила Гетерта и при наличии отрыва потока.

Опишем алгоритм решения задачи 1, с помощью которого можно получить решение, равномерно пригодное во всех областях. Алгоритм состоит из двух этапов: на первом решается двумерная нелинейная задача теории удлиненных тел с учетом отрыва потока с передних кромок крыла и интерференции вихревой пелены с фюзеляжем, при этом находится конфигурация вихревой пелены и ее интенсивность; на втором решается трехмерная задача обтекания комбинации крыло — фюзеляж в присутствии известной вихревой пелены несжимаемой жидкостью (в переменных Гетерта). Асимптотические оценки погрешностей как для суммарных, так и для распределенных аэродинамических характеристик даны в [1].

Перейдем к описанию результатов асимптотического анализа задачи 2 (комбинация фюзеляж — крыло конечного удлинения — наплыv). Полное изложение математического аппарата приведено в [2]. Введем зону 1 — область внешнего течения с характерными размерами  $O(1)$ . Тогда при  $\lambda_n \rightarrow 0$ ,  $\varepsilon = O(\lambda_n)$  фюзеляж и наплыv изображаются в виде отрезка оси  $x$ . В первом приближении в зоне 1 имеет место линейная задача без-отрывного обтекания крыла без фюзеляжа и наплыva; в переменных Гетерта возмущенный потенциал удовлетворяет трехмерному уравнению Лапласа. Далее, как и в задаче 1, рассмотрим внутреннюю зону 2 с поперечными размерами  $O(\lambda_n)$  и продольным размером  $O(1)$ , в ней тоже в первом приближении справедлива теория удлиненных тел. Граничное условие на бесконечности для задачи в зоне 2 получается с помощью сращивания решений в зонах 1 и 2. Таким образом, скорость на бесконечности в плоской задаче есть просто скос в точке  $x$ , полученный из решения линейной задачи в зоне 1.

Как показано в [2], при приближении к области стыка наплыva и крыла величина скоса стремится к бесконечности, поэтому необходимо рассмотреть отдельно зону 3 — область окрестности стыка наплыva и крыла с характерными размерами порядка поперечных размеров наплыva; ее вихревая пелена в первом приближении проходит без изменения своей конфигурации. Кроме того, в ней влияние вихревой пелены на скорость течения мало и в первом приближении справедлива линейная теория. Это означает, что на боковых кромках наплыva условие Чаплыгина — Жуковского не выполняется. Последнее обстоятельство приводит к необходимости введения в окрестности боковых кромок наплыva узких

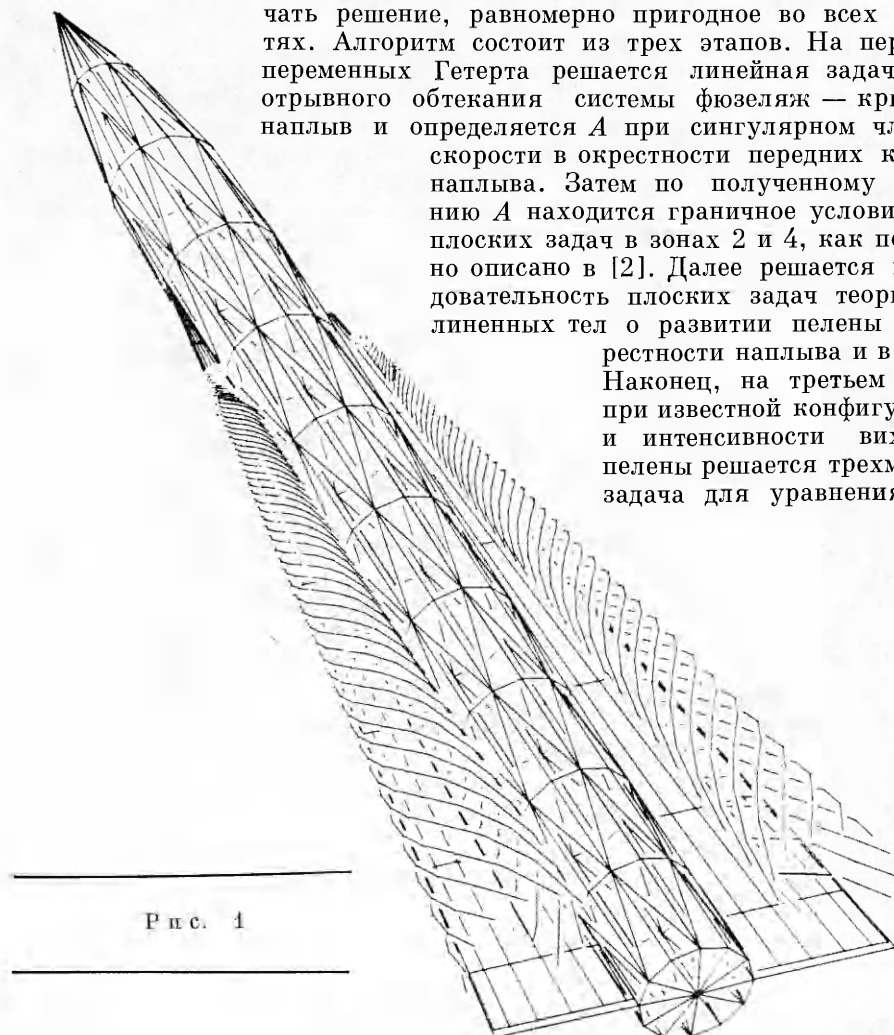
зон 4, являющихся подзонами зоны 3. Там также справедлива теория удлиненных тел, причем скорость на бесконечности в этой задаче получается с помощью сглаживания решений в зонах 3 и 4 и определяется коэффициентом  $A$  при сингулярном члене в скорости в линейной задаче в зоне 3. Очевидно, что  $A$  зависит от  $M_\infty$ . Таким образом, влияние сжимаемости на конфигурацию вихревой пелены оказывается в зонах 2 и 4 через граничные условия на бесконечности.

Необходимо подчеркнуть особую роль зоны 4, в которой рождается вихревая пелена повышенной интенсивности. В дальнейшем участок вихревой пелены формирует второе ядро в следе над крылом. Этот эффект впервые теоретически проанализирован в [6].

Итак, имея информацию о решении в зоне 4, можно сформулировать задачу о следе над крылом (продолжение зоны 2). Здесь также справедлива теория удлиненных тел и необходимо решать двумерную задачу о движении вихревой пелены над плоскостью в присутствии фюзеляжа. Наконец, есть еще характерная область следа за крылом в присутствии фюзеляжа, где также справедлива теория удлиненных тел.

Таким образом, сжимаемость среды в задаче 2 проявляется в зонах 2, 3 через граничные условия на бесконечности. Отсюда следует, что конфигурация вихревой пелены в задаче 2 зависит от  $M_\infty$  уже в первом приближении.

На основе асимптотического анализа можно сформулировать алгоритм решения задачи 2, дающий возможность получать решение, равномерно пригодное во всех областях. Алгоритм состоит из трех этапов. На первом в переменных Гетеरта решается линейная задача безотрывного обтекания системы фюзеляж — крыло — наплыв и определяется  $A$  при сингулярном члене в скорости в окрестности передних кромок наплыва. Затем по полученному значению  $A$  находится граничное условие для плоских задач в зонах 2 и 4, как подробно описано в [2]. Далее решается последовательность плоских задач теории удлиненных тел о развитии пелены в окрестности наплыва и в следе. Наконец, на третьем этапе при известной конфигурации и интенсивности вихревой пелены решается трехмерная задача для уравнения Лап-



124

ласа в переменных Гетерта и определяются аэродинамические характеристики как суммарные, так и распределенные. Асимптотические оценки точности алгоритма для суммарных и распределенных аэродинамических характеристик даны в [2].

При численном решении задачи для аппроксимации крыла использовался метод вихревой решетки [1—2]. Поверхность фюзеляжа представлялась треугольными панелями, на поверхности которых вводилось распределение источников с постоянной по панели плотностью.

**3. Примеры расчетов.** В качестве примера применения изложенного выше алгоритма рассмотрим результаты расчета отрывного обтекания комбинации фюзеляжа с треугольным крылом малого удлинения (задача 1). Геометрические параметры исследованной компоновки приведены в [7]. Расчетная сетка (рис. 1) содержит 48 панелей на крыле и 108 на фюзеляже. Вихревая пелена, сходящая с передней кромки крыла, аппроксимировалась 12 вихревыми нитями. Форма вихревой пелены над крылом при  $M_\infty = 0,5$  и  $\alpha = 15^\circ$  показана на рис. 1. На рис. 2 сравнивается рассчитанная зависимость коэффициента нормальной силы от угла атаки с данными эксперимента [7] при  $M_\infty = 0,5$ . В диапазоне  $0 < \alpha < 30^\circ$  максимальное расхождение полученных численно и экспериментальным путем значений  $C_n$  не превосходит 5%.

На рис. 3 представлена рассчитанная форма пелены над крылом с наплытом в присутствии фюзеляжа, данные экспериментального изучения (точки) этой модели летательного аппарата имеются в [8]. Расчет проведен для  $M_\infty = 0,5$  и  $\alpha = 15^\circ$ . Сетка содержит на крыле 112 панелей и на фюзеляже 132. В [8] отмечены два пика разрежения на поверхности крыла и предполагалось, что они соответствуют ядрам вихревой пелены, сопшедшими с передней кромки наплыва и передней кромки основного крыла.

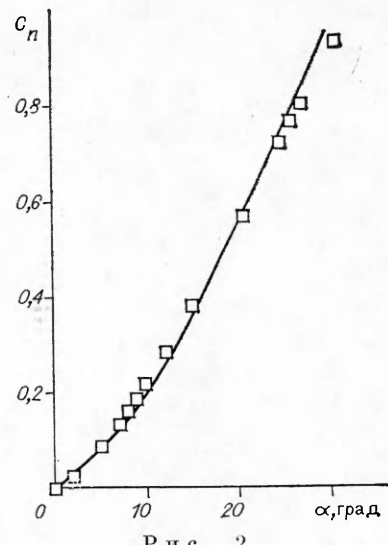


Рис. 2

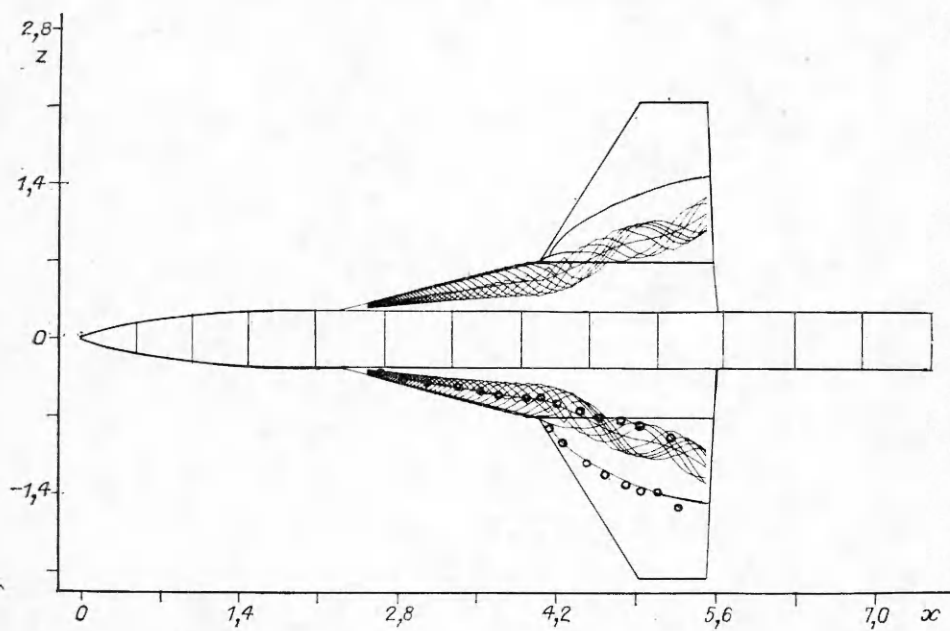


Рис. 3

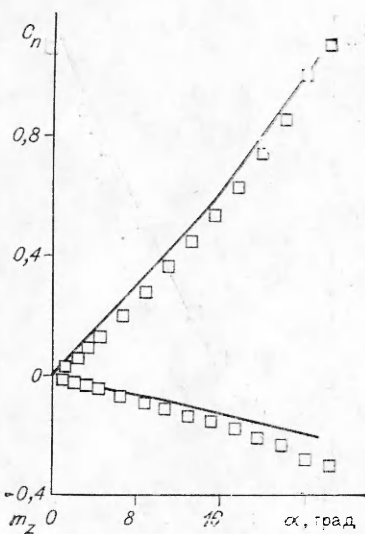


Рис. 4

ческих характеристик обтекания комбинации фюзеляж — крыло — наплыв с экспериментальными данными [9]. При расчетах делалось то же предположение относительно схемы обтекания и использовалась сетка с теми же параметрами, что и в предыдущем примере. На рис. 4 приведены полученные расчетным и экспериментальным путем зависимости коэффициента нормальной силы  $C_n$  и продольного момента  $m_z$  от  $\alpha$  при  $M_\infty = 0,3$ . Видно, что в этом случае имеется хорошее совпадение результатов расчета с данными эксперимента.

#### ЛИТЕРАТУРА

1. Захаров С. Б., Судаков Г. Г. Отрывное обтекание крыльев малого удлинения дозвуковым потоком сжимаемого газа // Учен. зап. ЦАГИ.— 1982.— Т. 13, № 5.
2. Захаров С. Б., Судаков Г. Г. Отрывное обтекание крыльев конечного удлинения с наплывом потоком сжимаемого газа // Учен. зап. ЦАГИ.— 1983.— Т. 14, № 3.
3. Белоцерковский С. М., Ништ М. И. Отрывное и безотрывное обтекание тонких крыльев идеальной жидкостью.— М.: Наука, 1978.
4. Ферри А. Аэродинамика сверхзвуковых течений.— М.; Л.: Гостехиздат, 1962.
5. Никольский А. А. Законы подобия для трехмерного стационарного обтекания тел идеальной жидкостью и газом // Учен. зап. ЦАГИ.— 1970.— Т. 1, № 1.
6. Зубцов А. В., Судаков Г. Г. Об отрывном обтекании потоком идеальной жидкости крыла бесконечного удлинения с наплывом // Изв. АН СССР. МЖГ.— 1982.— № 3.
7. Stahl W., Hartmann K., Schneider W. Experimental investigations of separated flows on wing-body combinations with very slender wings at Mach number  $M = 0,5$  to  $2,2$  // ICAS Paper.— 1972.— N 72—25.
8. Wedemeyer E. H. Stable and unstable vortex separation // AGARD — CP — 247.— 1979.
9. Kruse R. L., Lovette G. H., Spencer B. Reynolds number effects on the aerodynamics characteristics of irregular planform wings at Mach number 0,3 // NASA TM — 73132.— 1977.

Поступила 26/V 1986 г.

УДК 532.527

#### К ТЕОРИИ УДЛИНЕННЫХ ОТРЫВНЫХ ЗОН

*С. К. Бетяев  
(Жуковский)*

Поскольку предельная форма обтекания тела при  $Re \rightarrow \infty$  в рамках модели Навье — Стокса неизвестна, обращение к более простой модели идеальной среды представляется единственной возможностью. Однако при таком переходе возникает другая, прямо противоположная трудность — бесконечный набор решений. Поэтому